



# **Ilmatar Ikaalinen-Hämeenkyrö Oy**

Konikallio

Tuulivoimapuiston välkeselvitys

16.04.2026

Copyright © AFRY Finland Oy

Kaikki oikeudet pidätetään. Tätä asiakirjaa tai osaa siitä ei saa kopioida tai jäljentää missään muodossa ilman AFRY Finland Oy:n antamaa kirjallista lupaa.

AFRY Finland Oy:n projektinumero on 101016612-004.

Kannen kuva: © AFRY

Selvityksessä on käytetty Maanmittauslaitoksen ja Ilmatieteen laitoksen avoimien aineistojen käyttöluvien alaista materiaalia, jotka on lisensoitu Creative Commons Nimeä 4.0 Kansainvälinen -lisenssillä: <http://creativecommons.org/licenses/by/4.0/deed.fi>.

## YHTEYSTIEDOT

Hankkeesta vastaava:

### Asiakas

Ilmatar Ikaalinen-Hämeenkyrö Oy

Tekijä:

### AFRY Finland Oy

Mika Iaitinen

mika.laitinen@afry.com

Wind and Solar Finland

[www.afry.com](http://www.afry.com)

Raportin tiedot:

Projektinumero: 101016612-004

Raporttiversio: 002

Raportin tila: VALMIS

Raporttihistoria:

Versio	Pvm/Laatija	Pvm/Tarkastaja	Merkinnät/Muutokset
001	22.05.2025/ Mika Iaitinen, Senior Consultant	22.05.2025/ Erkki Heikkola, Senior Consultant	Alkuperäinen
002	16.04.2026/ Mika Iaitinen, Senior Consultant	16.04.2026/ Erkki Heikkola, Senior Consultant	Voimalan T10 koordinaatit muuttuneet

## SISÄLLYS

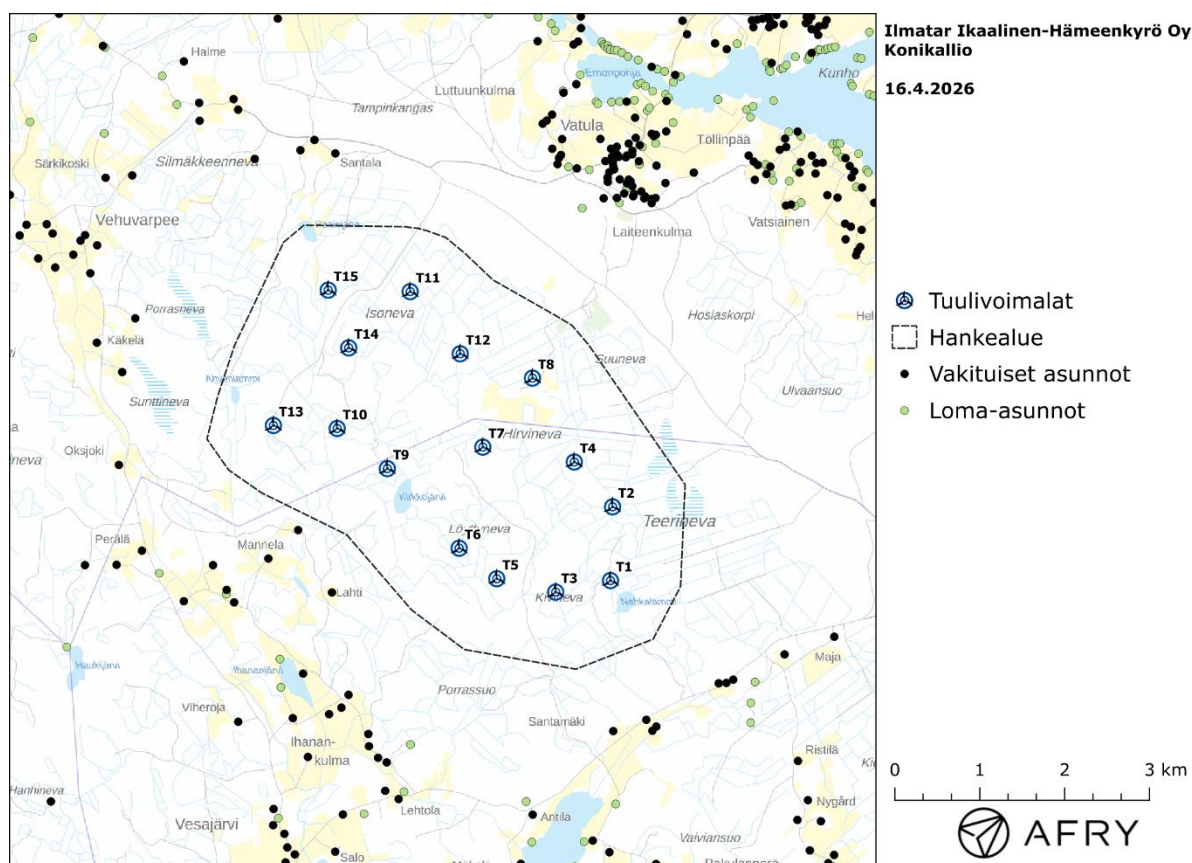
1	JOHDANTO .....	5
2	TUULIVOIMALOIDEN VÄLKE .....	7
2.1	Välkevaikutus.....	7
2.2	Välkkeen rajoittaminen.....	7
2.3	Arvioinnin epävarmuudet .....	7
2.4	Ohjeavot .....	8
3	TUULIVOIMAKOHTTEEN VÄLKEMALLINNUS .....	9
3.1	Mallinnusmenetelmä ja lähtöaineisto .....	9
3.2	Todennäköinen välkevaikutus.....	13
3.3	Teoreettinen välkevaikutus .....	15
3.4	Yhteenveto .....	17
4	VÄLKEVAIKUTUKSEN LASKENTAMENETELMÄ .....	18
5	VIITTEET .....	20

# 1 JOHDANTO

Selvityksessä arvioidaan Ikaalisten kaupungin ja Hämeenkyrön kunnan alueille suunnitellun Konikallion tuulivoimapuiston aiheuttamaa välkevaikutusta laskennallisten mallien avulla. Arviointi on tehty 15 voimalan suunnitelmalle. Voimaloiden sijainnit on esitetty karttapohjalla kuvassa (Kuva 1-1) ja koordinaatit annettu taulukossa (Taulukko 1-1).

Mallinnuksissa voimaloille on käytetty napakorkeutta 200 m ja roottorin halkaisijaa 200 m. Näin suuren roottorin voimaloita ei ole vielä tarjolla maatuulivoimapuistoihin ja mallinnuksissa arvioidaan nykyistä suurempien tulevaisuuden voimaloiden välkevaikutuksia. Roottorin halkaisijan koko on merkittävämpi välke aikaan vaikuttava tekijä kuin lavan muoto, mutta myös voimalatyyppin lavan leveys vaikuttaa välkkeen suuruuteen. Koska tulevaisuuden voimaloiden lapojen leveydestä ei ole vielä tarkkaa tietoa, välkemallinnuksissa voimaloiden lavan muoto on skaalattu nykyisestä voimalatyyppistä V162 (roottorin halkaisija 162 m). Lapa on skaalattu sekä pidemmäksi että leveämmäksi. Voimalatyyppin V162 lapa on muodoltaan leveä ja tällä pyritään turvalliseen arviointiin, joka ei aliarvioi tulevaisuuden voimaloiden välkevaikutusta.

Konikallion lähialueella ei ole tiedossa muita tuulivoimahankkeita, joista voisi aiheutua välkkeen yhteisvaikutuksia Konikallion voimaloiden kanssa.



**Kuva 1-1: Tuulivoimaloiden sijainnit Konikallion hankealueella.**

**Taulukko 1-1: Tuulivoimaloiden (15 kpl) sijaintikoordinaatit ETRS-TM35FIN-koordinaatissa ja maaston korkeus tuulivoimalan paikalla.**

Tuulivoimalat	E	N	Maaston korkeus [m]
T1	285432	6845876	136
T2	285456	6846745	132
T3	284786	6845741	131
T4	285005	6847273	139
T5	284092	6845898	130
T6	283649	6846257	125
T7	283928	6847448	129
T8	284512	6848261	128
T9	282802	6847195	123
T10	282221	6847668	114
T11	283071	6849279	126
T12	283661	6848547	130
T13	281460	6847703	118
T14	282347	6848617	126
T15	282105	6849297	126

## 2 TUULIVOIMALOIDEN VÄLKE

### 2.1 Välkevaikutus

Välkevaikutuksella tarkoitetaan tilannetta, jossa Auringon paisteen ja tarkastelupisteen väliin jäävän voimalan lavat aiheuttavat välkkyvän varjon. Välke voi ulottua pisimmillään 1–3 km etäisyydelle voimalasta. Välkevaikutuksen etäisyyteen ja keston vaikuttavat tuulivoimalan korkeus ja roottorin halkaisija, vuoden- ja vuorokaudenaika, tuulen suunta, maaston muodot sekä näkyvyyttä rajoittavat tekijät kuten kasvillisuus ja pilvisuus.

Suomen sijainnin vuoksi yksittäisen tuulivoimalan välkevaikutus kohdistuu valtaosin voimalan pohjoispuolelle (päiväaika) sekä lounais- ja kaakkoispuolelle (aamu- ja ilta-ajat). Suomessa voimala aiheuttaa välkevaikutusta eteläpuolelleen vain pohjoisen napapiirin pohjoispuolella.

Välkevaikutuksen laskenta voi perustua joko teoreettisen maksimivälkkeen tai todennäköisen tilanteen mallinnukseen:

- Teoreettisen maksimivälkkeen laskennassa oletetaan, että päiväaikaan Aurinko paistaa jatkuvasti, tuulivoimalan roottori pyörii jatkuvasti, ja roottori on aina kohdisuorassa Aurinkoa kohden.
- Todennäköisen tilanteen mallinnuksessa otetaan huomioon paikallinen tilastollinen aineisto auringonpaisteen määrästä ja ajoittumisesta sekä tuulen suuntien ja nopeuksien jakautumisesta.

Tämän selvityksen väkelaskenta on tehty mallintamalla sekä todennäköinen välkeaika että teoreettinen maksimivälke.

### 2.2 Välkkeen rajoittaminen

Välkevaikutusta voidaan vähentää voimalakohtaisella välkkeen hallintatyökalulla (shadow flicker protection system), joka sisältää valoanturin ja välkkeenhallintasovelluksen. Työkalun avulla voimala voidaan pysäyttää joko havaitun auringonpaisteen perusteella ja/tai haluttuina vuoden- ja kellonaikoina. Pysäytetty voimala ei aiheuta välkettä.

### 2.3 Arvioinnin epävarmuudet

Mallinnettu todennäköinen välkevaikutus perustuu auringonpaisteen ja tuulisuuden tilastolliseen aineistoon. Yksittäisen vuoden sääolosuhteet saattavat poiketa merkittävästi keskimääräisistä olosuhteista, jolloin vuotuinen välkevaikutus voi poiketa mallinnetusta arvosta. Auringonpaisteen aineisto on saatu Jokioisten sääasemalta, josta etäisyys hankealueeseen on noin 100 km.

Mallinnuksessa ei ole huomioitu paikallisen puuston vaikutusta voimaloiden näkyvyyteen ja välkevaikutukseen. Puusto voi rajoittaa merkittävästi näkyvyyttä turbiineille ja vähentää vuotuista välkevaikutusta. Puuston näkyvyyttä peittävä vaikutus vaihtelee kuitenkin vuosien ja vuodenaikojen suhteen, minkä vuoksi puuston välkettä vähentävää vaikutusta ei pystytä arvioimaan tarkasti.

Rakennuksiin kohdistuvan välkkeen laskennassa käytetään ns. kasvihuone-oletusta, jolloin rakennukseen kohdistuva välkevaikutus huomioidaan riippumatta suunnasta. Välkevaikutuksen laskennallinen arvio kuvaa siis välkevaikutusta ulkona. Rakennusten sisätiloissa välkevaikutus on yleensä vähäisempi, koska välkevaikutus kohdistuu rakennuksen sisätiloihin vain ikkunoiden suunnasta.

## 2.4 Ohjearvot

Tuulivoimaloiden välkevaikutukselle ei ole Suomessa määritelty ohjearvoja. Ympäristöministeriön ohjeissa tuulivoimapuiston suunnitteluun suositellaan käytettäväksi muiden maiden suosituksia välkemäärien osalta [4]. Tässä selvityksessä mallinnettuja välkeajoja verrataan vakiintuneen käytännön mukaan Ruotsin, Tanskan ja Saksan ohjearvoihin. Välkkeen ohjearvoja sovelletaan asutuksen kohdalla, eikä esimerkiksi eläimiin tai luontoon kohdistuvasta välkevaikutuksesta ole ohjearvoja tai arviointikriteerejä.

Tanskassa on määritetty todennäköisen vuotuisen välketuntimäärän suositusarvoksi 10 tuntia. Ruotsissa vastaava todennäköisen välkkeen suositusarvo on 8 tuntia vuodessa ja korkeintaan 30 minuuttia päivässä [2]. Saksassa teoreettisen maksimivälkkeen raja-arvot ovat korkeintaan 30 tuntia vuodessa ja 30 minuuttia päivässä. Saksassa todellinen vuotuisen välkevaikutus ohjeistetaan rajoittamaan 8 tuntiin, jos voimalaan asennetaan välkkeen hallintatyökalu.

### 3 TUULIVOIMAKOHTTEEN VÄLKEMALLINNUS

#### 3.1 Mallinnusmenetelmä ja lähtöaineisto

Tuulivoimaloiden aiheuttama välkevaikutus (shadow flicker) arvioitiin AFRY Numerola -mallinnusohjelmistolla, joka huomioi auringon paikan vuoden eri aikoina, tuulivoima-alueen ja sen ympäristön maastonmuodot sekä tuulivoimaloiden dimensiot. Laskennan tuloksena saadaan tietoa siitä, kuinka monta tuntia vuodessa alueen eri kohteet ovat välkevaikutuksen alaisena. Tulosta havainnollistetaan tasa-arvokäyrästä, jonka perusteella voidaan arvioida varjostusvaikutusta tarkastelualueella.

Tarkastelualueiden maanpinnan korkeuserot on saatu Maanmittauslaitoksen aineistosta *Korkeusmalli 10 m*. Korkeusdatan vaakaresoluutio on 10 m ja pystysuorainen tarkkuus 1,4 m. Laskennassa huomioitiin korkeuserot siten, että jos Auringon, tuulivoimalan ja tarkastelupisteen kautta kulkeva jana leikkaa maanpintaa, niin varjostusta ei esiinny. Välkevaikutus laskettiin 2 m korkeudelle. Auringonpaistekulman rajana horisontista käytettiin kolmea astetta, jonka alle menevää säteilyä ei oteta huomioon varjostuksessa.

Tuulivoimalan lapojen aiheuttama varjo heikkenee asteittain liikuttaessa etäämmälle tuulivoimalasta, eikä tietyn etäisyyden jälkeen varjo ole enää ihmissilmin havaittavissa. Tämä etäisyys riippuu tuulivoimalan lavan leveydestä, ja esimerkiksi Ruotsin tuulivoimarakentamisen suunnitteluohjeistuksessa määritellään, että välkevaikutus huomioidaan mikäli lapa peittää vähintään 20 % Auringosta. Käytännössä tämä asettaa lavan leveydestä riippuvan maksimietäisyyden yksittäisen tuulivoimalan aiheuttamalle välkevaikutukselle, eikä sen ulkopuolella välkevaikutusta ole.

Yleensä välkelaskennan maksimietäisyyden laskenta perustuu lavan keskimääräiseen leveyteen, joka määrää maksimietäisyyden. Käytännössä tuulivoimalan lapa ei ole vakioleveyinen: Levein kohta sijaitsee lähellä tuulivoimalan napaa, ja lapa kapenee huomattavasti kärkeä kohti liikuttaessa. Tällä perusteella lavan tyven välkevaikutus ulottuu huomattavasti pidemmälle kuin lavan kärjen, mikäli arviointiperusteena käytetään Auringon peittoastetta. Tässä selvityksessä välkelaskennassa ei ole käytetty tavanomaista maksimietäisyyttä, vaan on huomioitu tuulivoimalan muuttuva lapaprofiili.

Välkelaskennassa Konikallion voimaloille on käytetty napakorkeutta 200 m ja roottorin halkaisijaa 200 m. Näin suuren roottorin voimaloita ei ole vielä tarjolla maatuulivoimapuistoihin ja mallinuksissa arvioidaan nykyistä suurempien tulevaisuuden voimaloiden välkevaikutuksia. Koska tulevaisuuden voimaloiden lapojen leveydestä ei ole vielä tarkkaa tietoa, välkemallinuksissa voimaloiden lavan muoto on skaalattu nykyisestä voimalatyypistä V162 (roottorin halkaisija 162 m). Samalla kun lavan pituus on skaalattu 100 metriin, lapa on skaalattu 7 % leveämmäksi kuin voimalatyypissä V162. Laskentamenetelmän yksityiskohdat on kuvattu luvussa 4.

Todelliseen välkevaikutukseen vaikuttavat tuulivoimaloiden käyttöaste, puusto ja paikallinen säätila (pilvisuus ja tuulisuus). Jos esimerkiksi tuulen suunta on kohtisuorassa auringon ja tarkastelupisteen välistä linjaa vasten, ei varjostusvaikutusta esiinny. Varjostuksen laskennassa tuulivoimalan orientaatio voidaan määrittää, jolloin roottori oletetaan tiettyyn suuntaan asetetuksi ympyrätasoksi. Todennäköisen välkevaikutuksen laskenta on suoritettu kuudella eri tuulivoimalan orientaatiolla. Tämä vastaa 12 tuulen suuntasektorin varjostustuloksia, sillä vastakkaiset tuulensuunnat aiheuttavat välkkeen kannalta efektiivisesti saman roottorin orientaation. Kullakin tuulen suunnalla laskettua välketuntimäärää on skaalattu Suomen tuuliatlaksesta [1] saatavan suuntasektorin esiintymisfrekvenssillä ja

suuntakohtaisesta nopeusjakaumasta määritellyn tuulivoimalan käyntinopeuksien ajallisa osuudella. Käynnistysnopeutta alemmissa tai pysäytysnopeutta korkeammissa tuulissa tuulivoimalat ovat paikallaan, jolloin roottorin pyörimisestä aiheutuvaa valon välkkymistä ei esiinny. Suomen tuuliatlaksen tuulisuusestimaatti on otettu tuulivoima-alueen keskeltä korkeudelta 200 m, ja sen perusteella lasketut suuntasektorikohtaiset osuudet tuulivoimalan käyntinopeusvälille osuville tuulille on lueteltu taulukossa (Taulukko 3-1).

Paikallinen pilvisuus on huomioitu skaalaamalla eri roottoriorientaatioilla laskettuja varjotusaikoja Jokioisten sääasemalta mitattujen auringonpaistetuntien suhteellisella osuudella teoreettisesta maksimipaistetuntien määrästä [3]. Sääaseman mittausten perusteella lasketut kuukausittaiset auringonpaisteen todennäköisyydet on koottuna taulukkoon (Taulukko 3-2). Suuntakohtaisesti skaalatut välketuntimäärät yhteen laskien saadaan arvio todellisesta, säätilan huomioonottavasta välketuntimäärästä tarkastelualueella.

**Taulukko 3-1: Suuntasektorikohtaiset osuudet yli 3 m/s tuulenopeuksille Suomen tuuliatlaksen perusteella. Datan mukaan voimalat pyörivät 93,5 % ajasta.**

Suuntasektori	0/180	30/210	60/240	90/270	120/300	150/330	Yhteensä
Yli 3 m/s osuus	0,165	0,182	0,177	0,141	0,132	0,138	0,935

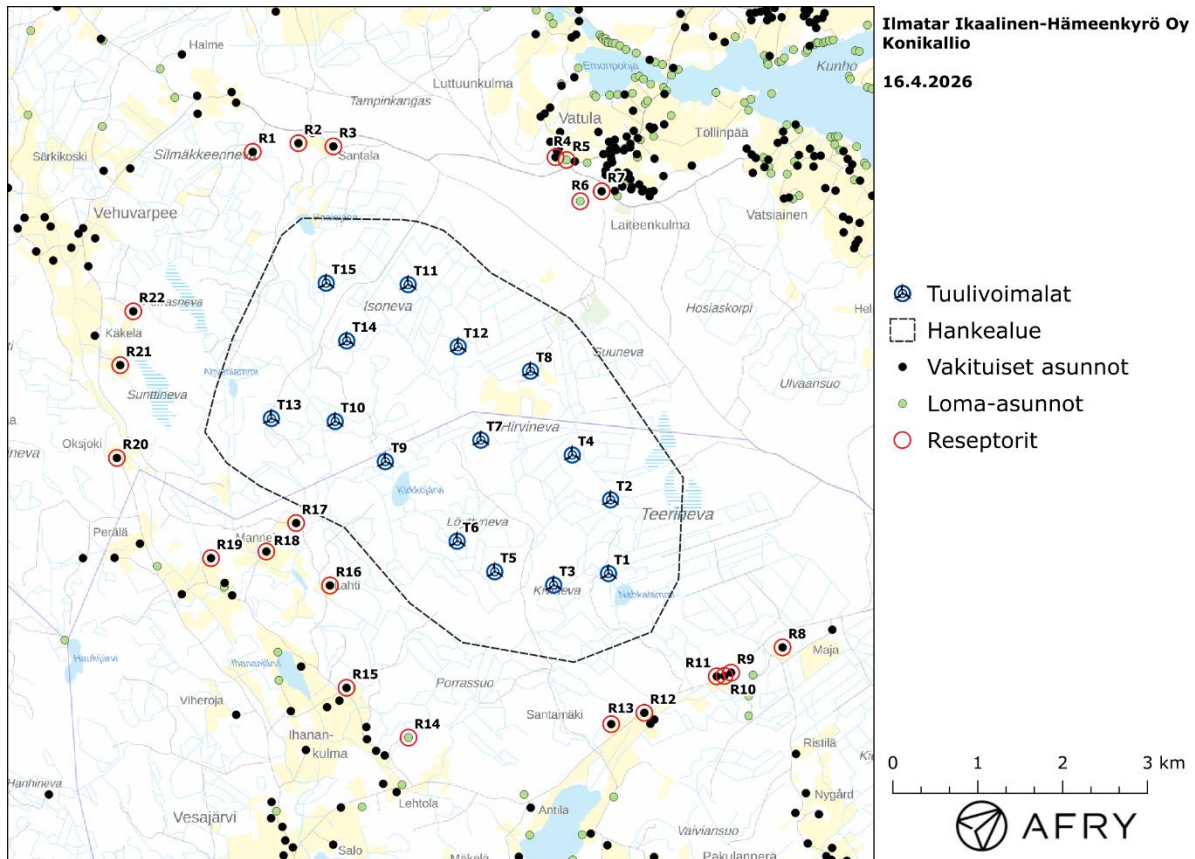
**Taulukko 3-2: Auringonpaisteen kuukausittaiset todennäköisyydet Jokioisten sääasemalla.**

Kuukausi	Auringonpaisteen todennäköisyys
Tammikuu	0,176
Helmikuu	0,269
Maaliskuu	0,394
Huhtikuu	0,432
Toukokuu	0,481
Kesäkuu	0,454
Heinäkuu	0,467
Elokuu	0,439
Syyskuu	0,361
Lokakuu	0,246
Marraskuu	0,126
Joulukuu	0,123

Taulukossa (Taulukko 3-3) on määritelty tuulivoimaloiden ympäristöstä 22 pistettä, joiden kohdilla välkevaikutusta tarkastellaan tarkemmin. Pistet on valittu asuntojen kohdilta, joihin kohdistuu suurin välkevaikutus. Näitä pisteitä kutsutaan reseptoreiksi, ja niiden paikat suhteessa tuulivoimaloihin on esitetty karttapohjalla (Kuva 3-1). Reseptorit sijaitsevat noin 1,2–2,4 km etäisyydellä voimaloista.

**Taulukko 3-3: Reseptorien koordinaatit ETRS-TM35FIN-koordinaatistossa.**

Reseptori	E	N	Maaston korkeus [m]	Rakennusluokitus
R1	281241	6850841	122	vakituinen asunto
R2	281779	6850943	128	vakituinen asunto
R3	282191	6850905	128	vakituinen asunto
R4	284809	6850778	122	vakituinen asunto
R5	284940	6850745	116	loma-asunto
R6	285100	6850260	183	loma-asunto
R7	285353	6850377	143	vakituinen asunto
R8	287484	6845005	130	vakituinen asunto
R9	286879	6844707	120	vakituinen asunto
R10	286799	6844669	118	vakituinen asunto
R11	286709	6844664	117	vakituinen asunto
R12	285855	6844234	113	vakituinen asunto
R13	285465	6844101	117	vakituinen asunto
R14	283077	6843943	114	loma-asunto
R15	282346	6844529	106	vakituinen asunto
R16	282151	6845734	110	vakituinen asunto
R17	281752	6846469	108	vakituinen asunto
R18	281401	6846134	108	vakituinen asunto
R19	280749	6846056	111	vakituinen asunto
R20	279640	6847236	115	vakituinen asunto
R21	279679	6848329	112	vakituinen asunto
R22	279833	6848963	119	vakituinen asunto



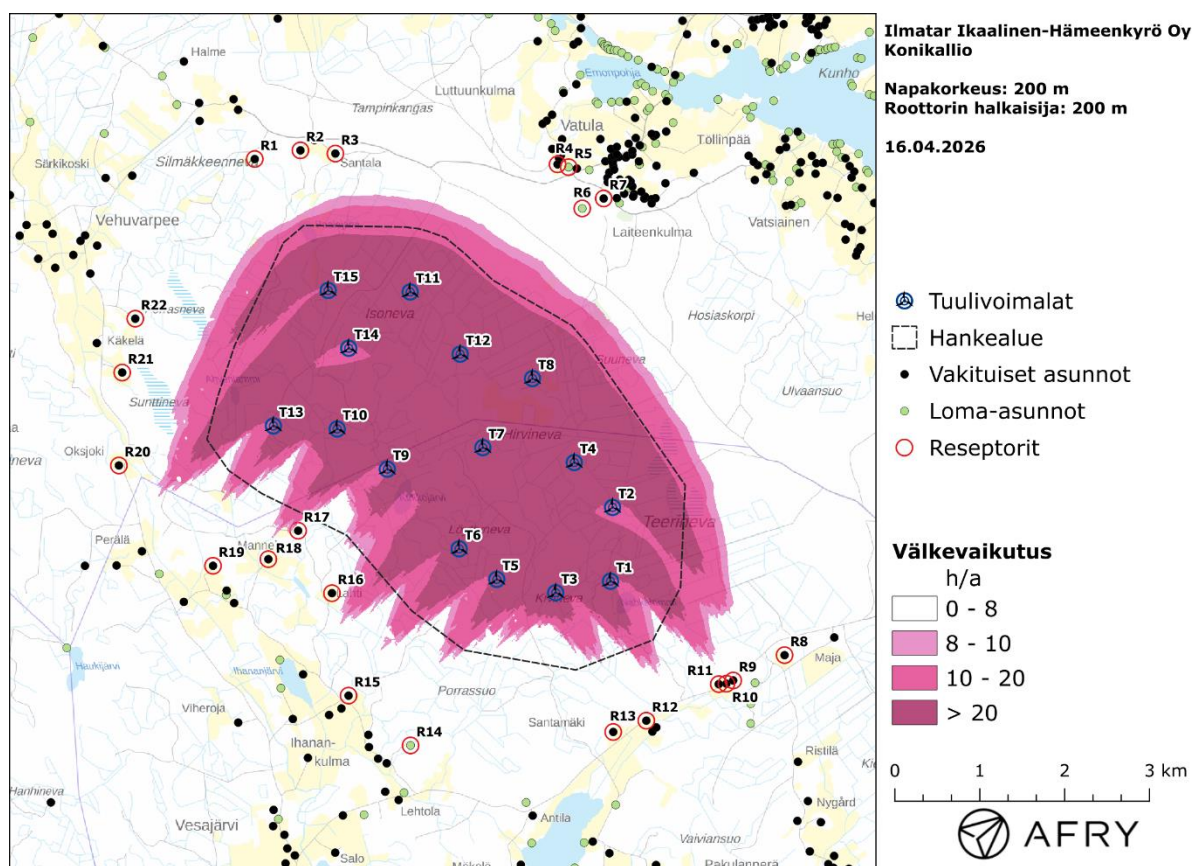
**Kuva 3-1: Reseptoreiden paikat Konikallion tuulivoimapuiston hankealueella.**

### 3.2 Todennäköinen välkevaikutus

Mallinnetut arviot todennäköisten välketuntien vuotuisesta määrästä on esitetty karttakuvana (Kuva 3-2). Mallinnuksessa ei ole huomioitu paikallisen puuston vaikutusta tuulivoimaloiden näkyvyyteen ja välkevaikutukseen. Karttoihin on merkitty ympäristössä sijaitsevat loma- ja asuinrakennukset käyttäen lähtötietona Maanmittauslaitoksen maastotietokannan sisältämiä tietoja.

Mallinnusten perusteella vuotuinen todennäköinen välkevaikutus jää alle Ruotsin 8 tunnin ohjearvon kaikkien lähialueen asuin- ja lomarakennusten kohdalla. Myös päiväkohtainen todennäköinen välkevaikutus alittaa Ruotsin 30 minuutin ohjearvon kaikkien alueen asuntojen kohdalla. Vuotuiset todennäköiset välkevaikutusajat ja suurimmat päiväkohtaiset maksimivälkkeet reseptorien kohdalla on lueteltu taulukossa (Taulukko 3-4).

Todennäköisen välkkeen tarkempi ajoittuminen reseptorin R17 kohdalla on esitetty taulukossa (Taulukko 3-5). Taulukossa esitetyt kellonajat ovat aikavyöhykkeen UTC+2 mukaisia (Suomen talviaika).



**Kuva 3-2: Tuulivoimaloiden aiheuttama todennäköisen välkkeen määrä ilman puuston vaikutusta.**

**Taulukko 3-4: Todennäköinen välkevaikutus tunteina ja minuutteina [h:min] reseptoreiden kohdalla.**

Reseptori	Todennäköinen vuotuinen välkeaika	Todennäköisen välkkeen päiväkohtainen maksimi
R1	1:14	0:03
R2	2:22	0:03
R3	2:56	0:03
R4	0:20	0:02
R5	0:17	0:02
R6	1:07	0:02
R7	0:06	0:01
R8	0:37	0:03
R9	4:24	0:05
R10	3:37	0:07
R11	0:00	0:00
R12	0:04	0:01
R13	0:00	0:00
R14	0:00	0:00
R15	1:37	0:04
R16	4:29	0:08
R17	5:46	0:10
R18	2:59	0:06
R19	0:49	0:03
R20	1:25	0:05
R21	0:53	0:04
R22	0:58	0:03

**Taulukko 3-5: Todennäköisen välkevaikutuksen ajoittuminen ja kesto tunteina ja minuutteina [h:min] reseptorin R17 kohdalla.**

Kellonaika	0-2	2-4	4-6	6-8	8-10	10-12	12-14	14-16	16-18	18-20	20-22	22-24	
Tammikuu	0:00	0:00	0:00	0:00	0:00	0:00	0:00	0:00	0:00	0:00	0:00	0:00	0:00
Helmikuu	0:00	0:00	0:00	0:00	0:00	0:00	0:00	0:00	0:00	0:00	0:00	0:00	0:00
Maaliskuu	0:00	0:00	0:00	<b>0:20</b>	0:00	0:00	0:00	0:00	0:00	0:00	0:00	0:00	<b>0:20</b>
Huhtikuu	0:00	0:00	0:00	<b>0:18</b>	0:00	0:00	0:00	0:00	0:00	0:00	0:00	0:00	<b>0:18</b>
Toukokuu	0:00	0:00	<b>0:22</b>	0:00	0:00	0:00	0:00	0:00	0:00	0:00	0:00	0:00	<b>0:22</b>
Kesäkuu	0:00	0:00	<b>2:39</b>	0:00	0:00	0:00	0:00	0:00	0:00	0:00	0:00	0:00	<b>2:39</b>
Heinäkuu	0:00	0:00	<b>1:18</b>	0:00	0:00	0:00	0:00	0:00	0:00	0:00	0:00	0:00	<b>1:18</b>
Elokuu	0:00	0:00	<b>0:16</b>	0:00	0:00	0:00	0:00	0:00	0:00	0:00	0:00	0:00	<b>0:16</b>
Syyskuu	0:00	0:00	0:00	<b>0:33</b>	0:00	0:00	0:00	0:00	0:00	0:00	0:00	0:00	<b>0:33</b>
Lokakuu	0:00	0:00	0:00	0:00	0:00	0:00	0:00	0:00	0:00	0:00	0:00	0:00	0:00
Marraskuu	0:00	0:00	0:00	0:00	0:00	0:00	0:00	0:00	0:00	0:00	0:00	0:00	0:00
Joulukuu	0:00	0:00	0:00	0:00	0:00	0:00	0:00	0:00	0:00	0:00	0:00	0:00	0:00
<b>Yhteensä</b>	0:00	0:00	<b>4:35</b>	<b>1:11</b>	0:00	0:00	0:00	0:00	0:00	0:00	0:00	0:00	<b>5:46</b>

### 3.3 Teoreettinen välkevaikutus

Teoreettisen maksimivälkkeen vuotuiset ja suurimmat päiväkohtaiset välkevaikutusajat reseptoreiden kohdilla on lueteltu taulukossa (Taulukko 3-6). Mallinnusten perusteella teoreettinen vuotuinen maksimivälke aika pysyy alle raja-arvojen kaikkien rakennusten kohdalla, kun välkeajoja verrataan Saksan raja-arvoihin.

Teoreettisen maksimivälkkeen suurin päiväkohtainen arvo ylittää hieman Saksan 30 minuutin raja-arvon reseptoreiden R3 ja R17 kohdilla. Reseptorin R3 kohdalla teoreettisen maksimivälkkeen suurin päiväkohtainen arvo ajoittuu joulukuulle, jolloin auringonpaisteen todennäköisyys on alhainen. Reseptorin R17 kohdalla ylitys ajoittuu kesäkuulle varhaiseen aamuun. Teoreettisen maksimivälkkeen ajoittuminen reseptorien R3 ja R17 kohdilla on esitetty taulukoissa (Taulukko 3-7 ja Taulukko 3-8). Taulukoissa esitetyt kellonajat ovat aikavyöhykkeen UTC+2 mukaisia (Suomen talviaika).

Suomen olosuhteissa Saksan teoreettisen maksimivälkkeen raja-arvoihin vertaaminen voi antaa harhaanjohtavan kuvan välkevaikutuksesta. Suomessa aurinko paistaa eri kulmasta kuin Saksassa ja auringonpaisteen todennäköisyys on erilainen. Suomessa aurinko paistaa talvella hyvin viistosti, mikä voi aiheuttaa laskennallisesti suuren ja kauas ulottuvan teoreettisen maksimivälkkeen. Talvisin auringonpaisteen todennäköisyys on kuitenkin Suomessa hyvin alhainen. Suomessa myös kesän auringonnousut ja -laskut voivat aiheuttaa laskennallisesti kauas ulottuvan teoreettisen maksimivälkkeen. Auringonnousun ja -laskun aikaan hyvin viistosti paistava aurinko jää helpommin puuston ja rakennusten taakse. Näiden seikkojen vuoksi teoreettisen päiväkohtaisen maksimivälkkeen ylitykset reseptorien R3 ja R17 kohdilla eivät ole merkittäviä.

**Taulukko 3-6: Teoreettinen välkevaikutus tunteina ja minuutteina [h:min] reseptoreiden kohdilla.**

Reseptori	Teoreettinen vuotuinen välke aika	Teoreettisen välkkeen päiväkohtainen maksimi
R1	12:03	0:23
R2	25:27	0:28
R3	23:22	0:35
R4	2:14	0:11
R5	1:47	0:10
R6	11:29	0:17
R7	1:08	0:06
R8	2:31	0:12
R9	16:40	0:21
R10	13:45	0:27
R11	0:00	0:00
R12	0:15	0:01
R13	0:00	0:00
R14	0:00	0:00
R15	5:37	0:13
R16	16:12	0:26
R17	21:42	0:35

R18	10:53	0:21
R19	2:49	0:11
R20	5:19	0:17
R21	4:07	0:17
R22	5:09	0:14

**Taulukko 3-7: Teoreettisen maksimivälkkeen ajoittuminen ja kesto tunteina ja minuutteina [h:min] reseptorin R3 kohdalla.**

Kellonaika	0-2	2-4	4-6	6-8	8-10	10-12	12-14	14-16	16-18	18-20	20-22	22-24	
Tammikuu	0:00	0:00	0:00	0:00	0:00	<b>2:43</b>	<b>4:03</b>	0:00	0:00	0:00	0:00	0:00	<b>6:47</b>
Helmikuu	0:00	0:00	0:00	0:00	0:00	<b>1:16</b>	0:00	0:00	0:00	0:00	0:00	0:00	<b>1:16</b>
Maaliskuu	0:00	0:00	0:00	0:00	0:00	0:00	0:00	0:00	0:00	0:00	0:00	0:00	0:00
Huhtikuu	0:00	0:00	0:00	0:00	0:00	0:00	0:00	0:00	0:00	0:00	0:00	0:00	0:00
Toukokuu	0:00	0:00	0:00	0:00	0:00	0:00	0:00	0:00	0:00	0:00	0:00	0:00	0:00
Kesäkuu	0:00	0:00	0:00	0:00	0:00	0:00	0:00	0:00	0:00	0:00	0:00	0:00	0:00
Heinäkuu	0:00	0:00	0:00	0:00	0:00	0:00	0:00	0:00	0:00	0:00	0:00	0:00	0:00
Elokuu	0:00	0:00	0:00	0:00	0:00	0:00	0:00	0:00	0:00	0:00	0:00	0:00	0:00
Syyskuu	0:00	0:00	0:00	0:00	0:00	0:00	0:00	0:00	0:00	0:00	0:00	0:00	0:00
Lokakuu	0:00	0:00	0:00	0:00	0:00	0:00	0:00	0:00	0:00	0:00	0:00	0:00	0:00
Marraskuu	0:00	0:00	0:00	0:00	<b>1:51</b>	<b>1:51</b>	<b>1:18</b>	0:00	0:00	0:00	0:00	0:00	<b>5:01</b>
Joulukuu	0:00	0:00	0:00	0:00	0:00	<b>3:54</b>	<b>6:25</b>	0:00	0:00	0:00	0:00	0:00	<b>10:19</b>
<b>Yhteensä</b>	0:00	0:00	0:00	0:00	<b>1:51</b>	<b>9:45</b>	<b>11:47</b>	0:00	0:00	0:00	0:00	0:00	<b>23:22</b>

**Taulukko 3-8: Teoreettisen maksimivälkkeen ajoittuminen ja kesto tunteina ja minuutteina [h:min] reseptorin R17 kohdalla.**

Kellonaika	0-2	2-4	4-6	6-8	8-10	10-12	12-14	14-16	16-18	18-20	20-22	22-24	
Tammikuu	0:00	0:00	0:00	0:00	0:00	0:00	0:00	0:00	0:00	0:00	0:00	0:00	0:00
Helmikuu	0:00	0:00	0:00	0:00	0:00	0:00	0:00	0:00	0:00	0:00	0:00	0:00	0:00
Maaliskuu	0:00	0:00	0:00	<b>1:28</b>	0:00	0:00	0:00	0:00	0:00	0:00	0:00	0:00	<b>1:28</b>
Huhtikuu	0:00	0:00	0:00	<b>1:11</b>	0:00	0:00	0:00	0:00	0:00	0:00	0:00	0:00	<b>1:11</b>
Toukokuu	0:00	0:00	<b>1:20</b>	0:00	0:00	0:00	0:00	0:00	0:00	0:00	0:00	0:00	<b>1:20</b>
Kesäkuu	0:00	0:00	<b>9:19</b>	0:00	0:00	0:00	0:00	0:00	0:00	0:00	0:00	0:00	<b>9:19</b>
Heinäkuu	0:00	0:00	<b>4:47</b>	0:00	0:00	0:00	0:00	0:00	0:00	0:00	0:00	0:00	<b>4:47</b>
Elokuu	0:00	0:00	<b>1:00</b>	0:00	0:00	0:00	0:00	0:00	0:00	0:00	0:00	0:00	<b>1:00</b>
Syyskuu	0:00	0:00	0:00	<b>2:39</b>	0:00	0:00	0:00	0:00	0:00	0:00	0:00	0:00	<b>2:39</b>
Lokakuu	0:00	0:00	0:00	0:00	0:00	0:00	0:00	0:00	0:00	0:00	0:00	0:00	0:00
Marraskuu	0:00	0:00	0:00	0:00	0:00	0:00	0:00	0:00	0:00	0:00	0:00	0:00	0:00
Joulukuu	0:00	0:00	0:00	0:00	0:00	0:00	0:00	0:00	0:00	0:00	0:00	0:00	0:00
<b>Yhteensä</b>	0:00	0:00	<b>16:25</b>	<b>5:17</b>	0:00	0:00	0:00	0:00	0:00	0:00	0:00	0:00	<b>21:42</b>

### 3.4 Yhteenveto

Raportissa on esitetty Ikaalisten kaupungin ja Hämeenkyrön kunnan alueille suunnitellun Konikallion tuulivoimapuiston ympäristölleen aiheuttaman välkevaikutuksen laskennallinen arvio. Vaikutusten arviointi on tehty 15 voimalan suunnitelmalle, roottorin halkaisijalla 200 m ja napakorkeudella 200 m.

Välkevarjostusmallinnuksen mukaan vuotuinen todennäköinen välkevaikutus jää alle Ruotsin 8 tunnin ohjearvon kaikkien asuin- ja lomarakennusten kohdalla. Myös todennäköinen päiväkohtainen välkeaika alittaa Ruotsin 30 minuutin ohjearvon kaikkien loma- ja asuinrakennusten kohdilla. Vuotuinen teoreettinen maksimivälke alittaa Saksan 30 tunnin raja-arvon. Teoreettinen päiväkohtainen maksimivälke ylittää hieman Saksan 30 minuutin raja-arvon kahden asunnon kohdalla, mutta ylitykset eivät ole Suomen olosuhteissa merkittäviä.

Kokonaisuutena Konikallion tuulivoimaloiden välkevaikutus on kohtalainen.

## 4 VÄLKEVAIKUTUKSEN LASKENTAMENETELMÄ

Välkevaikutuksen laskennassa hyödynnetään taivaanpallon käsitettä, joka on maapallon maantieteellistä koordinaatistoa vastaava kuvitteellinen kuori katsottaessa maapallolta taivaalle. Samalla tavoin kuin paikan sijainti maapallolla voidaan ilmoittaa pituus- ja leveyspiirien avulla, voidaan taivaankappaleiden paikat taivaanpallolla ilmoittaa kahden koordinaatin (rektaskensio ja deklinaatio) avulla. Aurinko kulkee vuoden aikana taivaanpallolla kääntöpiirien väliin asettuvalla nauhalla, ja Auringon esiintymistiheys kyseisellä nauhalla voidaan esittää tiheysfunktiona.

Tiettyyn pisteeseen kohdistuvaa vuotuista välkevaikutusta laskettaessa tarkastellaan sitä osaa taivaanpallosta, joka näkyy pisteeseen tuulivoimaloiden roottorikehien läpi. Näkyvyyden arvioinnissa otetaan huomioon paikallinen maaston korkeusaineisto. Mikäli kääntöpiirien väliin asettuva nauha ei näy roottorikehien läpi, tarkastelupisteeseen ei kohdistu välkevaikutusta. Muussa tapauksessa yksittäisen tuulivoimalan aiheuttamien välketuntien määrä saadaan integroimalla tiheysfunktiota tuulivoimalan roottorikehien läpinäkyvällä taivaanpallon osuudella. Tuulivoimaloiden yhteisvaikutus saadaan summaamalla tuulivoimalakohtaiset välketunnit ottaen kuitenkin huomioon mahdolliset päällekkäisyydet roottorikehien peittämässä alueissa. Laskenta suoritetaan erikseen tuulivoimaloiden eri orientaatioille, joita skaalataan suuntakohtaisilla tuulusuusuksilla.

Huomioitaessa kuukausittaista (tai muuta lyhytaikaista) vaihtelua auringonpaisteen todennäköisyydessä, taivaanpallon nauha jaetaan vastaaviin osiin Auringon deklinaation mukaan. Tiheysfunktio määritellään näissä osissa erikseen, ja integroinnin tuloksia skaalataan kuukausikohtaisilla todennäköisyyksillä.

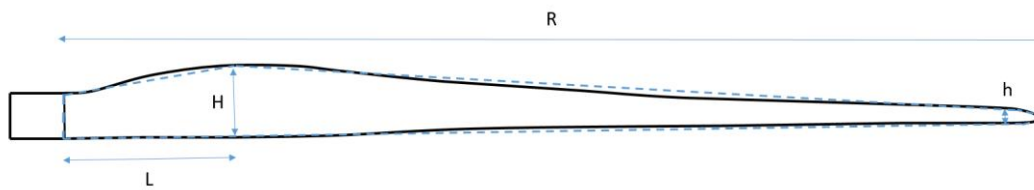
Tuulivoimalan lapojen aiheuttama varjo heikkenee asteittain liikuttaessa etäämmälle tuulivoimalasta, eikä tietyn etäisyyden jälkeen varjo ole enää ihmissilmin havaittavissa. Tämä etäisyys riippuu tuulivoimalan lavan leveydestä, ja esimerkiksi Ruotsin ja Saksan tuulivoimarakentamisen suunnitteluohjeistuksessa määritellään, että välkevarjostus huomioidaan, mikäli lapa peittää vähintään 20 % Auringosta. Käytännössä tämä asettaa lavan leveydestä riippuvan maksimietäisyyden yksittäisen tuulivoimalan aiheuttamalle välkevaikutukselle, eikä sen ulkopuolella välkevaikutusta ole.

Kun lavan leveys on  $w$  metriä, niin 20 % Auringon peittoon perustuvan välkevarjostuksen maksimietäisyyden määrittämiseen voidaan johtaa laskentakaava

$$\text{maksimietäisyys} = (5 * d * w) / 1'097'780,$$

missä  $d$  on etäisyys Aurinkoon (150'000'000 km). Yleensä välkelaskennan maksimietäisyyden laskenta perustuu lavan keskimääräiseen leveyteen, joka määrää maksimietäisyyden. Käytännössä tuulivoimalan lapa ei ole vakiolevyinen: Levein kohta sijaitsee lähellä tuulivoimalan napaa ja lapa kapenee huomattavasti kärkeä kohti liikuttaessa. Tällä perusteella lavan tyven välkevaikutus ulottuu huomattavasti pidemmälle kuin lavan kärjen, mikäli arviointiperusteena käytetään Auringon peittoastetta.

Seuraavassa kaaviokuvassa (Kuva 4-1) on esitetty malli tyypillisestä profiilista, jossa lavan maksimileveys on  $H$  etäisyydellä  $L$  lavan tyvestä. Lavan kokonaispituus on  $R$  ja lavan leveys 90 % etäisyydellä tyvestä on  $h$ . Lavan oletetaan kapenevan lineaarisesti arvosta  $H$  arvoon  $h$  liikuttaessa maksimikohdasta kärkeen. Tavanomaisesti välkelaskennassa tuulivoimalan keskimääräinen leveys on määritetty parametrien  $H$  ja  $h$  keskiarvona.



**Kuva 4-1: Tuulivoimalan lavan malliprofiili.**

Tämän raportin välkelaskennassa käytetään tuulivoimavalmistajan ilmoittamiin tietoihin perustuvaa lavan profiilitietoa. Laskennassa huomioitava roottorin säde vaihtelee välillä  $[0, R]$  riippuen tarkastelupisteen etäisyydestä turbiineihin sekä lavan leveydestä ja sitä vastaavasta Auringon peittoasteesta. Tällä tavoin välkelaskennassa huomioidaan tuulivoimalan muuttuva lapaprofiili, ja saadaan realistisempia tuloksia kuin olettamalla tietty keskimääräinen lavan leveys ja sitä vastaava kiinteä maksimietäisyys.

## 5 VIITTEET

- [1] B. Tammelin et al.: Production of the Finnish Wind atlas. Wind Energy, 2011.
- [2] Boverket: *Vindkraftshandboken*, Planering och prövning av vindkraftverk på land och i kustnära vattenområden, 2009.
- [3] P. Jokinen et al.: Tilastoja Suomen ilmastosta ja merestä 1990-2020, Ilmatieteen laitos, Raportteja 2021:8.
- [4] Tuulivoimarakentamisen suunnittelu. Päiväys 2016. Ympäristöhallinnon ohjeita 5|2016.